CERVAROLO
GIUSEPPE
01.04.2022 10:47:57
GMT+00:00

COMUNE DI BOLANO

PROVINCIA DI LA SPEZIA

PROGETTO DEFINITIVO

INTERVENTO DI SISTEMAZIONE IDRAULICA DEL CANALE VILLA NEL TRATTO COMPRESO TRA IL PONTE SU VIA PICARDA E LA PASSERELLA PEDONALE DI P.ZZA DELLE CORRIERE A CEPARANA

RELAZIONE DI CALCOLO MURO DI SPONDA SEZIONE N. 2.41



COD. ELABORATO

PDST1801

PROGETTISTA

DOTT. ING. GIUSEPPE CERVAROLO (CSP)
WWW.INGEGNERECERVAROLO.IT

ORDINE INGEGNERI COSENZA
Ingegnere
CERVAROLO
GIUSEPPE
Laurea Specialistica
Sezione: A n. 4572
Settori: Civile-Ambientale

R.U.P.

GEOM. LORENZO BRAGAZZI

REV.	DATA	DESCRIZIONE REVISIONE	ESEGUITO
A	LUGLIO 2021	EMISSIONE PROGETTO DEFINITIVO	ING. CERVAROLO
B	SETTEMRE 2021	INTEGRAZIONE PROGETTO DEFINITIVO	ING. CERVAROLO
C	DICEMBRE 2021	INTEGRAZIONE PROGETTO DEFINITIVO	ING. CERVAROLO
D	FEBBRAIO 2022	INTEGRAZIONE PROGETTO DEFINITIVO	ING. CERVAROLO

Relazione di calcolo

Progetto:
Ditta:
Comune: Bolano
Progettista: Ing. Giuseppe Cervarolo
Direttore dei Lavori:
Impresa:

Normative di riferimento

- Legge nr. 1086 del 05/11/1971.
Norme per la disciplina delle opere in conglomerato cementizio, normale e precompresso ed a struttura metallica.
- Legge nr. 64 del 02/02/1974.
Provvedimenti per le costruzioni con particolari prescrizioni per le zone sismiche.
- D.M. LL.PP. del 11/03/1988.
Norme tecniche riguardanti le indagini sui terreni e sulle rocce, la stabilitàdei pendii naturali e delle scarpate, i criteri generali e le prescrizioni per la progettazione, l'esecuzione e il collaudo delle opere di sostegno delle terre e delle opere di fondazione.
- D.M. LL.PP. del 14/02/1992.
Norme tecniche per l'esecuzione delle opere in cemento armato normale e precompresso e per le strutture metalliche.
- D.M. 9 Gennaio 1996
Norme Tecniche per il calcolo, l' esecuzione ed il collaudo delle strutture in cemento armato normale e precompresso e per le strutture metalliche
- D.M. 16 Gennaio 1996
Norme Tecniche relative ai 'Criteri generali per la verifica di sicurezza delle costruzioni e dei carichi e sovraccarichi'
- D.M. 16 Gennaio 1996
Norme Tecniche per le costruzioni in zone sismiche
- Circolare Ministero LL.PP. 15 Ottobre 1996 N. 252 AA.GG./S.T.C.
Istruzioni per l'applicazione delle Norme Tecniche di cui al D.M. 9 Gennaio 1996
- Circolare Ministero LL.PP. 10 Aprile 1997 N. 65/AA.GG.
Istruzioni per l'applicazione delle Norme Tecniche per le costruzioni in zone sismiche di cui al D.M. 16 Gennaio 1996
- Norme Tecniche per le Costruzioni 2018 (D.M. 17 Gennaio 2018)
- Circolare C.S.LL.PP. 21/01/2019 n.7 - Istruzioni per l'applicazione dell'Aggiornamento delle Norme tecniche per le costruzioni di cui al D.M. 17 gennaio 2018

Richiami teorici

Il calcolo dei muri di sostegno viene eseguito secondo le seguenti fasi:
- Calcolo della spinta del terreno
- Verifica a ribaltamento
- Verifica a scorrimento del muro sul piano di posa
- Verifica della stabilità complesso fondazione terreno (carico limite)
- Verifica della stabilità globale

Se il muro è in calcestruzzo armato: Calcolo delle sollecitazioni sia del muro che della fondazione, progetto delle armature e relative verifiche dei materiali.
Se il muro è a gravità: Calcolo delle sollecitazioni sia del muro che della fondazione e verifica in diverse sezioni al ribaltamento, allo scorrimento ed allo schiacciamento.

Calcolo della spinta sul muro

Valori caratteristici e valori di calcolo

Effettuando il calcolo tramite gli Eurocodici è necessario fare la distinzione fra i parametri caratteristici ed i valodi di calcolo (o di progetto) sia delle azioni che delle resistenze.
I valori di calcolo si ottengono dai valori caratteristici mediante l'applicazione di opportuni coefficienti di sicurezza parziali γ. In particolare si distinguono combinazioni di carico di tipo **A1-M1** nelle quali vengono incrementati i carichi e lasciati inalterati i parametri di resistenza del terreno e combinazioni di carico di tipo **A2-M2** nelle quali vengono ridotti i parametri di resistenza del terreno e incrementati i soli carichi variabili.

Metodo di Culmann

Il metodo di Culmann adotta le stesse ipotesi di base del metodo di Coulomb. La differenza sostanziale è che mentre Coulomb considera un terrapieno con superficie a pendenza costante e carico uniformemente distribuito (il che permette di ottenere una espressione in forma chiusa per il coefficiente di spinta) il metodo di Culmann consente di analizzare situazioni con profilo di forma generica e carichi sia concentrati che distribuiti comunque disposti. Inoltre, rispetto al metodo di Coulomb, risulta più immediato e lineare tener conto della coesione del masso spingente. Il metodo di Culmann, nato come metodo essenzialmente grafico, si è evoluto per essere trattato mediante analisi numerica (noto in questa forma come metodo del cuneo di tentativo). Come il metodo di Coulomb anche questo metodo considera una superficie di rottura rettilinea.
I passi del procedimento risolutivo sono i seguenti:
- si impone una superficie di rottura (angolo di inclinazione ρ rispetto all'orizzontale) e si considera il cuneo di spinta delimitato dalla superficie di rottura stessa, dalla parete su cui si calcola la spinta e dal profilo del terreno;
- si valutano tutte le forze agenti sul cuneo di spinta e cioè peso proprio *(W)*, carichi sul terrapieno, resistenza per attrito e per coesione lungo la superficie di rottura *(R e C)* e resistenza per coesione lungo la parete *(A)*;
- dalle equazioni di equilibrio si ricava il valore della spinta S sulla parete.

Questo processo viene iterato fino a trovare l'angolo di rottura per cui la spinta risulta massima.
La convergenza non si raggiunge se il terrapieno risulta inclinato di un angolo maggiore dell'angolo d'attrito del terreno.
Nei casi in cui è applicabile il metodo di Coulomb (profilo a monte rettilineo e carico uniformemente distribuito) i risultati ottenuti col metodo di Culmann coincidono con quelli del metodo di Coulomb.
Le pressioni sulla parete di spinta si ricavano derivando l'espressione della spinta S rispetto all'ordinata *z*. Noto il diagramma delle pressioni è possibile ricavare il punto di applicazione della spinta.

Spinta in presenza di falda

Nel caso in cui a monte della parete sia presente la falda il diagramma delle pressioni risulta modificato a causa della sottospinta che l'acqua esercita sul terreno. Il peso di volume del terreno al di sopra della linea di falda non subisce variazioni. Viceversa, al di sotto del livello di falda va considerato il peso di volume efficace

$$\gamma' = \gamma_{sat} - \gamma_w$$

dove γ_{sat} è il peso di volume saturo del terreno (dipendente dall'indice dei pori) e γ_w è il peso specifico dell'acqua. Quindi il diagramma delle pressioni al di sotto della linea di falda ha una pendenza minore. Al diagramma così ottenuto va sommato il diagramma triangolare legato alla pressione esercitata dall'acqua.

Spinta in presenza di sisma

Per tener conto dell'incremento di spinta dovuta al sisma si fa riferimento al metodo di Mononobe-Okabe (cui fa riferimento la Normativa Italiana).
La Normativa Italiana suggerisce di tener conto di un incremento di spinta dovuto al sisma nel modo seguente.
Detta ε l'inclinazione del terrapieno rispetto all'orizzontale e β l'inclinazione della parete rispetto alla verticale, si calcola la spinta *S'* considerando un'inclinazione del terrapieno e della parte pari a

$$\varepsilon' = \varepsilon + \theta \qquad \beta' = \beta + \theta$$

dove $\theta = \text{arctg}(k_h/(1 \pm k_v))$ essendo k_h il coefficiente sismico orizzontale e k_v il coefficiente sismico verticale, definito in funzione di k_h.
In presenza di falda a monte, θ assume le seguenti espressioni:

Terreno a bassa permeabilità

$$\theta = \arctan\left(\frac{\gamma_{sat}}{\gamma_{sat} - \gamma_w}\frac{k_h}{1 \pm k_v}\right)$$

Terreno a permeabilità elevata

$$\theta = \arctan\left(\frac{\gamma}{\gamma_{sat} - \gamma_w}\frac{k_h}{1 \pm k_v}\right)$$

Detta *S* la spinta calcolata in condizioni statiche l'incremento di spinta da applicare è espresso da

$$\Delta S = AS' - S$$

dove il coefficiente *A* vale

$$A = \frac{\cos^2(\beta + \theta)}{\cos^2\beta\cos\theta}$$

In presenza di falda a monte, nel coefficiente *A* si tiene conto dell'influenza dei pesi di volume nel calcolo di θ.
Adottando il metodo di Mononobe-Okabe per il calcolo della spinta, il coefficiente *A* viene posto pari a 1.
Tale incremento di spinta è applicato a metà altezza della parete di spinta nel caso di forma rettangolare del diagramma di incremento sismico, allo stesso punto di applicazione della spinta statica nel caso in cui la forma del diagramma di incremento sismico è uguale a quella del diagramma statico.
Oltre a questo incremento bisogna tener conto delle forze d'inerzia orizzontali e verticali che si destano per effetto del sisma. Tali forze vengono valutate come

$$F_{iH} = k_h W \qquad F_{iV} = \pm k_v W$$

dove *W* è il peso del muro, del terreno soprastante la mensola di monte ed i relativi sovraccarichi e va applicata nel baricentro dei pesi.
Il metodo di Culmann tiene conto automaticamente dell'incremento di spinta. Basta inserire nell'equazione risolutiva la forza d'inerzia del cuneo di spinta. La superficie di rottura nel caso di sisma risulta meno inclinata della corrispondente superficie in assenza di sisma.

Verifica a ribaltamento

La verifica a ribaltamento consiste nel determinare il momento risultante di tutte le forze che tendono a fare ribaltare il muro (momento ribaltante M_r) ed il momento risultante di tutte le forze che tendono a stabilizzare il muro (momento stabilizzante M_s) rispetto allo spigolo a valle della fondazione e verificare che il rapporto M_s/M_r sia maggiore di un determinato coefficiente di sicurezza η_r.
Deve quindi essere verificata la seguente diseguaglianza:

$$\frac{M_s}{M_r} \geq \eta_r$$

Il momento ribaltante M_r è dato dalla componente orizzontale della spinta *S*, dalle forze di inerzia del muro e del terreno gravante sulla fondazione di monte (caso di presenza di sisma) per i rispettivi bracci. Nel momento stabilizzante interviene il peso del muro (applicato nel baricentro) ed il peso del terreno gravante sulla fondazione di monte. Per quanto riguarda invece la componente verticale della spinta essa sarà stabilizzante se l'angolo d'attrito terra-muro δ è positivo, ribaltante se δ è negativo. δ è positivo quando è il terrapieno che scorre rispetto al muro, negativo quando è il muro che tende a scorrere rispetto al terrapieno (questo può essere il caso di una spalla da ponte gravata da carichi notevoli). Se sono presenti dei tiranti essi contribuiscono al momento stabilizzante.
Questa verifica ha significato solo per fondazione superficiale e non per fondazione su pali.

Verifica a scorrimento

Per la verifica a scorrimento del muro lungo il piano di fondazione deve risultare che la somma di tutte le forze parallele al piano di posa che tendono a fare scorrere il muro deve essere minore di tutte le forze, parallele al piano di scorrimento, che si oppongono allo scivolamento, secondo un certo coefficiente di sicurezza. La verifica a scorrimento risulta soddisfatta se il rapporto fra la risultante delle forze resistenti allo scivolamento F_r e la risultante delle forze che tendono a fare scorrere il muro F_s risulta maggiore di un determinato coefficiente di sicurezza η_s

$$\frac{F_r}{F_s} \geq \eta_s$$

Le forze che intervengono nella F_s sono: la componente della spinta parallela al piano di fondazione e la componente delle forze d'inerzia parallela al piano di fondazione.
La forza resistente è data dalla resistenza d'attrito e dalla resistenza per adesione lungo la base della fondazione. Detta *N* la componente normale al piano di fondazione del carico totale gravante in fondazione e indicando con δ_f l'angolo d'attrito

terreno-fondazione, con c_a l'adesione terreno-fondazione e con B_r la larghezza della fondazione reagente, la forza resistente può esprimersi come

$$F_r = N \tan \delta_f + c_a B_r$$

Nel caso di fondazione con dente, viene calcolata la resistenza passiva sviluppatasi lungo il cuneo passante per lo spigolo inferiore del dente, inclinato dell'angolo ρ (rispetto all'orizzontale). Tale cuneo viene individuato attraverso un procedimento iterativo. In dipendenza della geometria della fondazione e del dente, dei parametri geotecnici del terreno e del carico risultante in fondazione, tale cuneo può avere forma triangolare o trapezoidale. Detta *N* la componente normale del carico agente sul piano di posa della fondazione, *Q* l'aliquota di carico gravante sul cuneo passivo, S_p la resistenza passiva, L_c l'ampiezza del cuneo e indicando con δ_f l'angolo d'attrito terreno-fondazione, con c_a l'adesione terreno-fondazione e con B_r la larghezza della fondazione reagente, la forza resistente può esprimersi come

$$F_r = \left(N - Q\right) \tan \delta_f S_p + c_a L_r$$

con

$$L_r = B_r - L_c$$

La Normativa consente di computare, nelle forze resistenti, una aliquota dell'eventuale spinta dovuta al terreno posto a valle del muro. In tal caso, però, il coefficiente di sicurezza deve essere aumentato opportunamente. L'aliquota di spinta passiva che si può considerare ai fini della verifica a scorrimento non può comunque superare il 50 percento.
Per quanto riguarda l'angolo d'attrito terra-fondazione, δ_f, diversi autori suggeriscono di assumere un valore di δ_f pari all'angolo d'attrito del terreno di fondazione.

Verifica al carico limite

Il rapporto fra il carico limite in fondazione e la componente normaledella risultante dei carichi trasmessi dal muro sul terreno di fondazione deve essere superiore a η_q. Cioè, detto Q_u, il carico limite ed *R* la risultante verticale dei carichi in fondazione, deve essere:

$$\frac{Q_u}{R} \geq \eta_q$$

Si adotta per il calcolo del carico limite in fondazione il metodo di MEYERHOF.

L'espressione del carico ultimo è data dalla relazione:

$$q_u = cN_c s_c d_c i_c + qN_q s_q d_q i_q + 0.5B\gamma N_\gamma s_\gamma d_\gamma i_\gamma$$

In questa espressione:
c coesione del terreno in fondazione
ϕ angolo di attrito del terreno in fondazione
γ peso di volume del terreno in fondazione
B larghezza della fondazione
D profondità del piano di posa
q pressione geostatica alla quota del piano di posa
N fattori di capacità portante
d fattori di profondità del piano di posa
i fattori di inclinazione del carico

Fattori di capacità portante		$N_c = \left(N_q - 1\right) \cot \varphi$	$N_q = e^{\pi \tan \varphi} K_p$	$N_\gamma = \left(N_q - 1\right) \tan(1.4\varphi)$
Fattori di forma	$\varphi = 0$	$s_c = 1 + 0.2 K_p \frac{B'}{L'}$	$s_q = 1$	$s_\gamma = 1$
	$\varphi > 0$	$s_c = 1 + 0.2 K_p \frac{B'}{L'}$	$s_q = 1 + 0.1 K_p \frac{B'}{L'}$	$s_\gamma = 1 + 0.1 K_p \frac{B'}{L'}$
Fattori di profondità	$\varphi = 0$	$d_c = 1 + 0.2 \frac{D}{B} \sqrt{K_p}$	$d_q = 1$	$d_\gamma = 1$
	$\varphi > 0$	$d_c = 1 + 0.2 \frac{D}{B} \sqrt{K_p}$	$d_q = 1 + 0.1 \frac{D}{B} \sqrt{K_p}$	$d_\gamma = 1 + 0.1 \frac{D}{B} \sqrt{K_p}$
Fattori di inclinazione del carico	$\varphi = 0$	$i_c = \left(1 - \frac{\theta°}{90°}\right)^2$	$i_q = \left(1 - \frac{\theta°}{90°}\right)^2$	$i_\gamma = 0$
	$\varphi > 0$	$i_c = \left(1 - \frac{\theta°}{90°}\right)^2$	$i_q = \left(1 - \frac{\theta°}{90°}\right)^2$	$i_g = \left(1 - \frac{\theta°}{\varphi°}\right)^2$

Indichiamo con K_p il coefficiente di spinta passiva espresso da:

$$K_p = \tan^2\left(45° + \frac{\varphi}{2}\right)$$

Riduzione per eccentricità del carico

Nel caso in cui il carico al piano di posa della fondazione risulta eccentrico, Meyerhof propone di moltiplicare la capacità portante ultima per un fattore correttivo R_e

$R_e = 1.0 - 2.0\frac{e}{B}$	per terreni coesivi
$R_e = 1.0 - \sqrt{\frac{e}{B}}$	per terreni incoerenti

con e eccentricità del carico e B la dimensione minore della fondazione.

Riduzione per effetto piastra

Per valori elevati di B (dimensione minore della fondazione), Bowles propone di utilizzare un fattore correttivo r_γ del solo termine sul peso di volume (0.5 B γ N_γ) quando B supera i 2 m.

$$r_\gamma = 1.0 - 0.25 \log \frac{B}{2{,}0}$$

Il termine sul peso di volume diventa:

$$0.5 B \gamma N_\gamma r_\gamma$$

Verifica alla stabilità globale

La verifica alla stabilità globale del complesso muro+terreno deve fornire un coefficiente di sicurezza non inferiore a η_g.

Viene usata la tecnica della suddivisione a strisce della superficie di scorrimento da analizzare. La superficie di scorrimento viene supposta circolare e determinata in modo tale da non avere intersezione con il profilo del muro.
Si adotta per la verifica di stabilità globale il metodo di Bishop.

Il coefficiente di sicurezza nel metodo di Bishop si esprime secondo la seguente formula:

$$\eta = \frac{\sum_{i=0}^{n} \left[\frac{c_i b_i + (W_i - u_i b_i) \tan \varphi_i}{m} \right]}{\sum_{i=0}^{n} W_i \sin \alpha_i}$$

dove il termine *m* è espresso da

$$m = \left(1 + \frac{\tan \varphi_i \tan \alpha_i}{\eta}\right) \cos \alpha_i$$

In questa espressione *n* è il numero delle strisce considerate, b_i e α_i sono la larghezza e l'inclinazione della base della striscia i_{esima} rispetto all'orizzontale, W_i è il peso della striscia i_{esima} , c_i e ϕ_i sono le caratteristiche del terreno (coesione ed angolo di attrito) lungo la base della striscia ed u_i è la pressione neutra lungo la base della striscia.
L'espressione del coefficiente di sicurezza di Bishop contiene al secondo membro il termine *m* che è funzione di η. Quindi essa è risolta per successive approssimazioni assumendo un valore iniziale per η da inserire nell'espressione di *m* ed iterare fin quando il valore calcolato coincide con il valore assunto.

Dati

Materiali

Simbologia adottata

n°	Indice materiale
Descr	Descrizione del materiale

Calcestruzzo armato

C	Classe di resistenza del cls
A	Classe di resistenza dell'acciaio
γ	Peso specifico, espresso in [kg/mc]
R_{ck}	Resistenza caratteristica a compressione, espressa in [kg/cmq]
E	Modulo elastico, espresso in [kg/cmq]
ν	Coeff. di Poisson
n	Coeff. di omogenizzazione acciaio/cls
ntc	Coeff. di omogenizzazione cls teso/compresso

Calcestruzzo armato

n°	Descr	C	A	γ [kg/mc]	R_{ck} [kg/cmq]	E [kg/cmq]	ν	n	ntc
1	C35/45	C35/45	B450C	2500,00	458,86	353075	0.30	15.00	0.50

Acciai

Descr	f_{yk} [kg/cmq]	f_{uk} [kg/cmq]
B450C	4588,65	5506,38

Geometria profilo terreno a monte del muro

Simbologia adottata
(Sistema di riferimento con origine in testa al muro, ascissa X positiva verso monte, ordinata Y positiva verso l'alto)

n°	numero ordine del punto
X	ascissa del punto espressa in [m]
Y	ordinata del punto espressa in [m]
A	inclinazione del tratto espressa in [°]

n°	X [m]	Y [m]	A [°]
1	0,00	0,00	0.000
2	12,00	0,00	0.000

Inclinazione terreno a valle del muro rispetto all'orizzontale 0.000 [°]

Geometria muro

Geometria paramento e fondazione

Lunghezza muro	6,50	[m]
Paramento		
Materiale	C35/45	
Altezza paramento	5.75	[m]
Altezza paramento libero	4.75	[m]
Spessore in sommità	0,40	[m]
Spessore all'attacco con la fondazione	0,40	[m]
Inclinazione paramento esterno	0,00	[°]
Inclinazione paramento interno	0,00	[°]
Fondazione		
Materiale	C35/45	
Lunghezza mensola di valle	2,50	[m]
Lunghezza mensola di monte	0,00	[m]
Lunghezza totale	3,90	[m]
Inclinazione piano di posa	5,00	[°]
Spessore	0,80	[m]
Spessore magrone	0,00	[m]

Sperone

Posizione	Definita	
Distanza dal tacco della fondazione	0,90	[m]
Altezza	1,00	[m]
Spessore	0,80	[m]

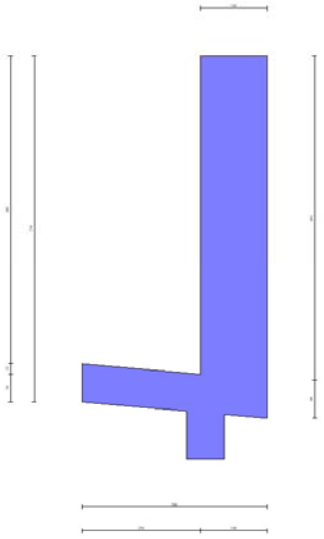


Fig. 1 - Sezione quotata del muro

Descrizione terreni

Parametri di resistenza

Simbologia adottata

n° Indice del terreno
Descr Descrizione terreno
γ Peso di volume del terreno espresso in [kg/mc]
γ_s Peso di volume saturo del terreno espresso in [kg/mc]
ϕ Angolo d'attrito interno espresso in [°]
δ Angolo d'attrito terra-muro espresso in [°]
c Coesione espressa in [kg/cmq]
c_a Adesione terra-muro espressa in [kg/cmq]

Per calcolo portanza con il metodo di Bustamante-Doix
Cesp Coeff. di espansione laterale (solo per il metodo di Bustamante-Doix)
τl Tensione tangenziale limite, espressa in [kg/cmq]

n°	Descr	γ [kg/mc]	γ_{sat} [kg/mc]	ϕ [°]	δ [°]	c [kg/cmq]	ca [kg/cmq]	Cesp	τl [kg/cmq]	
1	Terreni limo argilloso con sabbia e ghiaia	1980,00	2380,00	25.570	17.050	0,00	0,00	---	---	
2	CLS MURO	2400,00	2400,00	30.000	20.000	0,00	0,00	---	---	

Stratigrafia

Simbologia adottata

n° Indice dello strato
H Spessore dello strato espresso in [m]
α Inclinazione espressa in [°]
Terreno Terreno dello strato

Per calcolo pali (solo se presenti)
Kw Costante di Winkler orizzontale espressa in Kg/cm^2/cm
Ks Coefficiente di spinta
Cesp Coefficiente di espansione laterale (per tutti i metodi tranne il metodo di Bustamante-Doix)

Per calcolo della spinta con coeff. di spinta definiti (usati solo se attiva l'opzione 'Usa coeff. di spinta da strato')
Kst_{sta}, Kst_{sis} Coeff. di spinta statico e sismico

n°	H [m]	α [°]	Terreno	Kw [Kg/cm^3]	Ks	Cesp	Kst_{sta}	Kst_{sis}
1	10,00	0.000	Terreni limo argilloso con sabbia e ghiaia	---	---	---	---	---



Fig. 2 - Stratigrafia

Condizioni di carico

Simbologia adottata

Carichi verticali positivi verso il basso.
Carichi orizzontali positivi verso sinistra.
Momento positivo senso antiorario.

X	Ascissa del punto di applicazione del carico concentrato espressa in [m]
F_x	Componente orizzontale del carico concentrato espressa in [kg]
F_y	Componente verticale del carico concentrato espressa in [kg]
M	Momento espresso in [kgm]
X_i	Ascissa del punto iniziale del carico ripartito espressa in [m]
X_f	Ascissa del punto finale del carico ripartito espressa in [m]
Q_i	Intensità del carico per $x=X_i$ espressa in [kg]
Q_f	Intensità del carico per $x=X_f$ espressa in [kg]

Condizione n° 1 (Condizione 1) - VARIABILE
Coeff. di combinazione $\Psi_0=1.00$ - $\Psi_1=1.00$ - $\Psi_2=1.00$

Normativa

Normativa usata: **Norme Tecniche sulle Costruzioni 2018 (D.M. 17.01.2018) + Circolare C.S.LL.PP. 21/01/2019 n.7**

Coeff. parziali per le azioni o per l'effetto delle azioni

Carichi	Effetto		Combinazioni statiche				Combinazioni sismiche		
			UPL	EQU	A1	A2	EQU	A1	A2
Permanenti strutturali	Favorevoli	$\gamma_{G1,fav}$	0.90	1.00	1.00	1.00	1.00	1.00	1.00
Permanenti strutturali	Sfavorevoli	$\gamma_{G1,sfav}$	1.10	1.30	1.30	1.00	1.00	1.00	1.00
Permanenti non strutturali	Favorevoli	$\gamma_{G2,fav}$	0.80	0.80	0.80	0.80	0.00	0.00	0.00
Permanenti non strutturali	Sfavorevoli	$\gamma_{G2,sfav}$	1.50	1.50	1.50	1.30	1.00	1.00	1.00
Variabili	Favorevoli	$\gamma_{Q,fav}$	0.00	0.00	0.00	0.00	0.00	0.00	0.00
Variabili	Sfavorevoli	$\gamma_{Q,sfav}$	1.50	1.50	1.50	1.30	1.00	1.00	1.00
Variabili da traffico	Favorevoli	$\gamma_{QT,fav}$	0.00	0.00	0.00	0.00	0.00	0.00	0.00
Variabili da traffico	Sfavorevoli	$\gamma_{QT,sfav}$	1.50	1.35	1.35	1.15	1.00	1.00	1.00

Coeff. parziali per i parametri geotecnici del terreno

Parametro		Combinazioni statiche		Combinazioni sismiche	
		M1	M2	M1	M2
Tangente dell'angolo di attrito	$\gamma_{tan(\phi')}$	1.00	1.25	1.00	1.00
Coesione efficace	$\gamma_{c'}$	1.00	1.25	1.00	1.00
Resistenza non drenata	γ_{cu}	1.00	1.40	1.00	1.00
Peso nell'unita di volume	γ_{γ}	1.00	1.00	1.00	1.00

Coeff. parziali γ_R per le verifiche agli stati limite ultimi STR e GEO

Verifica	Combinazioni statiche			Combinazioni sismiche		
	R1	R2	R3	R1	R2	R3
Capacità portante	--	--	1.40	--	--	1.20
Scorrimento	--	--	1.10	--	--	1.00
Resistenza terreno a valle	--	--	1.40	--	--	1.20
Ribaltameno	--	--	1.15	--	--	1.00
Stabilità fronte di scavo	--	1.10	--	--	1.20	--

Descrizione combinazioni di carico

Con riferimento alle azioni elementari prima determinate, si sono considerate le seguenti combinazioni di carico:
- Combinazione fondamentale, impiegata per gli stati limite ultimi (SLU):

$$\gamma_{G1} G_1 + \gamma_{G2} G_2 + \gamma_{Q1} Q_{k1} + \gamma_{Q2} Q_{k2} + \gamma_{Q3} Q_{k3} + ...$$

- Combinazione caratteristica, cosiddetta rara, impiegata per gli stati limite di esercizio (SLE) irreversibili:

$$G_1 + G_2 + Q_{k1} + \Psi_{0,2} Q_{k2} + \Psi_{0,3} Q_{k3} + ...$$

- Combinazione frequente, impiegata per gli stati limite di esercizio (SLE) reversibili:

$$G_1 + G_2 + \Psi_{1,1} Q_{k1} + \Psi_{2,2} Q_{k2} + \Psi_{2,3} Q_{k3} + ...$$

- Combinazione quasi permanente, impiegata per gli effetti di lungo periodo:

$$G_1 + G_2 + \Psi_{2,1} Q_{k1} + \Psi_{2,2} Q_{k2} + \Psi_{2,3} Q_{k3} + ...$$

- Combinazione sismica, impiegata per gli stati limite ultimi connessi all'azione sismica E:

$$E + G_1 + G_2 + \Psi_{2,1} Q_{k1} + \Psi_{2,2} Q_{k2} + \Psi_{2,3} Q_{k3} + ...$$

I valori dei coeff. $\Psi_{0,j}$, $\Psi_{1,j}$, $\Psi_{2,j}$ sono definiti nelle singole condizioni variabili.
I valori dei coeff. γ_G e γ_Q, sono definiti nella tabella normativa.

In particolare si sono considerate le seguenti combinazioni:

Simbologia adottata

γ	Coefficiente di partecipazione della condizione
Ψ	Coefficiente di combinazione della condizione

Combinazione n° 1 - STR (A1-M1-R3)

Condizione	γ	Ψ	Effetto
Peso muro	1.00	--	Favorevole
Peso terrapieno	1.00	--	Favorevole
Spinta terreno	1.30	--	Sfavorevole
Condizione 1	1.50	1.00	Sfavorevole

Combinazione n° 2 - STR (A1-M1-R3) H + V

Condizione	γ	Ψ	Effetto
Peso muro	1.00	--	Favorevole
Peso terrapieno	1.00	--	Favorevole
Spinta terreno	1.00	--	Sfavorevole
Condizione 1	1.00	1.00	Sfavorevole

Combinazione n° 3 - STR (A1-M1-R3) H - V

Condizione	γ	Ψ	Effetto
Peso muro	1.00	--	Sfavorevole
Peso terrapieno	1.00	--	Sfavorevole
Spinta terreno	1.00	--	Sfavorevole
Condizione 1	1.00	1.00	Sfavorevole

Combinazione n° 4 - GEO (A2-M2-R2)

Condizione	γ	Ψ	Effetto
Peso muro	1.00	--	Sfavorevole
Peso terrapieno	1.00	--	Sfavorevole
Spinta terreno	1.00	--	Sfavorevole
Condizione 1	1.30	1.00	Sfavorevole

Combinazione n° 5 - GEO (A2-M2-R2) H + V

Condizione	γ	Ψ	Effetto
Peso muro	1.00	--	Sfavorevole
Peso terrapieno	1.00	--	Sfavorevole
Spinta terreno	1.00	--	Sfavorevole
Condizione 1	1.00	1.00	Sfavorevole

Combinazione n° 6 - GEO (A2-M2-R2) H - V

Condizione	γ	Ψ	Effetto
Peso muro	1.00	--	Sfavorevole
Peso terrapieno	1.00	--	Sfavorevole

Condizione	γ	Ψ	Effetto
Spinta terreno	1.00	--	Sfavorevole
Condizione 1	1.00	1.00	Sfavorevole

Combinazione n° 7 - EQU (A1-M1-R3)

Condizione	γ	Ψ	Effetto
Peso muro	1.00	--	Favorevole
Peso terrapieno	1.00	--	Favorevole
Spinta terreno	1.30	--	Sfavorevole
Condizione 1	1.50	1.00	Sfavorevole

Combinazione n° 8 - EQU (A1-M1-R3) H + V

Condizione	γ	Ψ	Effetto
Peso muro	1.00	--	Favorevole
Peso terrapieno	1.00	--	Favorevole
Spinta terreno	1.00	--	Sfavorevole
Condizione 1	1.00	1.00	Sfavorevole

Combinazione n° 9 - EQU (A1-M1-R3) H - V

Condizione	γ	Ψ	Effetto
Peso muro	1.00	--	Favorevole
Peso terrapieno	1.00	--	Favorevole
Spinta terreno	1.00	--	Sfavorevole
Condizione 1	1.00	1.00	Sfavorevole

Combinazione n° 10 - SLER

Condizione	γ	Ψ	Effetto
Peso muro	1.00	--	Sfavorevole
Peso terrapieno	1.00	--	Sfavorevole
Spinta terreno	1.00	--	Sfavorevole
Condizione 1	1.00	1.00	Sfavorevole

Combinazione n° 11 - SLEF

Condizione	γ	Ψ	Effetto
Peso muro	1.00	--	Sfavorevole
Peso terrapieno	1.00	--	Sfavorevole
Spinta terreno	1.00	--	Sfavorevole
Condizione 1	1.00	1.00	Sfavorevole

Combinazione n° 12 - SLEQ

Condizione	γ	Ψ	Effetto
Peso muro	1.00	--	Sfavorevole
Peso terrapieno	1.00	--	Sfavorevole
Spinta terreno	1.00	--	Sfavorevole
Condizione 1	1.00	1.00	Sfavorevole

Combinazione n° 13 - SLEQ H + V

Condizione	γ	Ψ	Effetto
Peso muro	1.00	--	Sfavorevole
Peso terrapieno	1.00	--	Sfavorevole
Spinta terreno	1.00	--	Sfavorevole
Condizione 1	1.00	1.00	Sfavorevole

Combinazione n° 14 - SLEQ H - V

Condizione	γ	Ψ	Effetto
Peso muro	1.00	--	Sfavorevole
Peso terrapieno	1.00	--	Sfavorevole
Spinta terreno	1.00	--	Sfavorevole
Condizione 1	1.00	1.00	Sfavorevole

Dati sismici

Comune	Bolano
Provincia	La Spezia
Regione	Liguria
Latitudine	44.187587
Longitudine	9.895017
Indice punti di interpolazione	18041 - 18042 - 17820 - 17819
Vita nominale	50 anni
Classe d'uso	III
Tipo costruzione	Normali affollamenti
Vita di riferimento	75 anni

	Simbolo	U.M.		SLU	SLE
Accelerazione al suolo	a_g	[m/s^2]		1.723	0.719
Accelerazione al suolo	a_g/g	[%]		0.176	0.073
Massimo fattore amplificazione spettro orizzontale	F0			2.386	2.466
Periodo inizio tratto spettro a velocità costante	Tc*			0.293	0.261
Tipo di sottosuolo - Coefficiente stratigrafico	Ss		B	1.200	1.200
Categoria topografica - Coefficiente amplificazione topografica	St		T2	1.200	

Stato limite ...	Coeff. di riduzione β_m	kh [%]	kv [%]
Ultimo	0.380	9.612	4.806
Ultimo - Ribaltamento	0.570	14.418	7.209
Esercizio	0.470	4.963	2.482

Forma diagramma incremento sismico **Stessa forma del diagramma statico**

Opzioni di calcolo

Spinta
Metodo di calcolo della spinta Culmann
Tipo di spinta Spinta attiva
Terreno a bassa permeabilità NO
Superficie di spinta limitata NO

Capacità portante
Metodo di calcolo della portanza Meyerhof
Criterio di media calcolo del terreno equivalente (terreni stratificati) Ponderata
Criterio di riduzione per eccentricità della portanza Meyerhof
Criterio di riduzione per rottura locale (punzonamento) Nessuna
Larghezza fondazione nel terzo termine della formula del carico limite ($0.5B\gamma N_\gamma$) Larghezza ridotta (B')
Fattori di forma e inclinazione del carico Solo i fattori di inclinazione
Se la fondazione ha larghezza superiore a 2.0 m viene applicato il fattore di riduzione per comportamento a piastra
Stabilità globale
Metodo di calcolo della stabilità globale Bishop

Altro
Partecipazione spinta passiva terreno antistante 0.00
Partecipazione resistenza passiva dente di fondazione 50.00
Componente verticale della spinta nel calcolo delle sollecitazioni NO
Considera terreno sulla fondazione di valle NO
Considera spinta e peso acqua fondazione di valle NO

Spostamenti
Non è stato richiesto il calcolo degli spostamenti

Cedimenti
Non è stato richiesto il calcolo dei cedimenti

Specifiche per le verifiche nelle combinazioni allo Stato Limite Ultimo (SLU)

	SLU	Eccezionale
Coefficiente di sicurezza calcestruzzo a compressione	1.50	1.00
Coefficiente di sicurezza acciaio	1.15	1.00
Fattore di riduzione da resistenza cubica a cilindrica	0.83	0.83
Fattore di riduzione per carichi di lungo periodo	0.85	0.85
Coefficiente di sicurezza per la sezione	1.00	1.00

Specifiche per le verifiche nelle combinazioni allo Stato Limite di Esercizio (SLE)
Paramento e fondazione muro

Verifiche strutturali nelle combinazioni SLD eseguite. Struttura in classe d'uso III o IV

Condizioni ambientali Ordinarie
Armatura ad aderenza migliorata SI

Verifica a fessurazione
Sensibilità armatura Poco sensibile
Metodo di calcolo aperture delle fessure NTC 2018 - CIRCOLARE 21 gennaio 2019, n. 7 C.S.LL.PP.
Calcolo momento fessurazione Apertura
Resistenza a trazione per Flessione
Valori limite aperture delle fessure: w_1=0.20
w_2=0.30
w_3=0.40

Verifica delle tensioni
Valori limite delle tensioni nei materiali:

Combinazione	Calcestruzzo	Acciaio
Rara	0.60 f_{ck}	0.80 f_{yk}
Frequente	1.00 f_{ck}	1.00 f_{yk}
Quasi permanente	0.45 f_{ck}	1.00 f_{yk}

Risultati

Spinta e forze

Simbologia adottata

Ic	Indice della combinazione
A	Tipo azione
I	Inclinazione della spinta, espressa in [°]
V	Valore dell'azione, espressa in [kg]
C_X, C_Y	Componente in direzione X ed Y dell'azione, espressa in [kg]
P_X, P_Y	Coordinata X ed Y del punto di applicazione dell'azione, espressa in [m]

Ic	A	V	I	C_X	C_Y	P_X	P_Y
		[kg]	*[°]*	*[kg]*	*[kg]*	*[m]*	*[m]*
1	Spinta statica	26531	17,05	25365	7779	0,00	-5,09
	Peso/Inerzia muro			0	33464/0	-1,02	-4,52
	Resistenza passiva sperone			-21332			

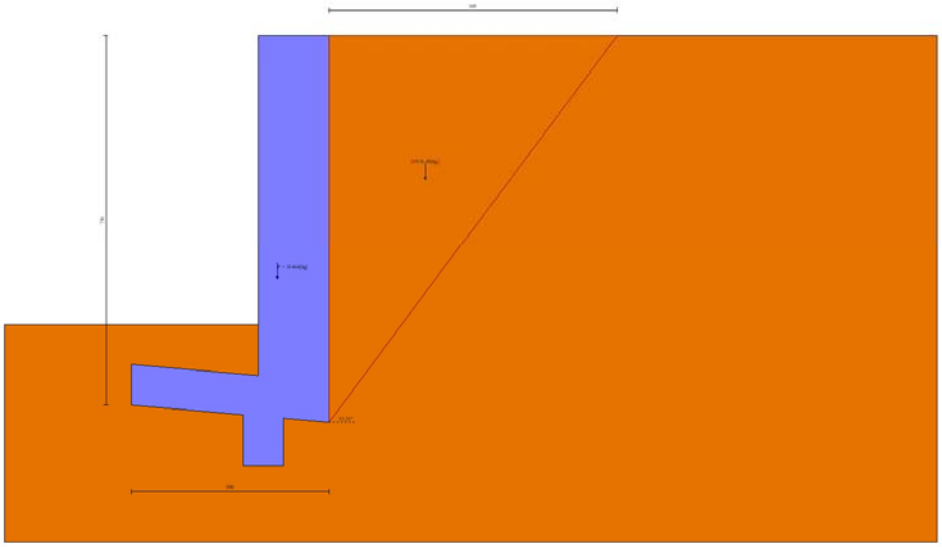


Fig. 3 - Cuneo di spinta (combinazione statica) (Combinazione n° 1)

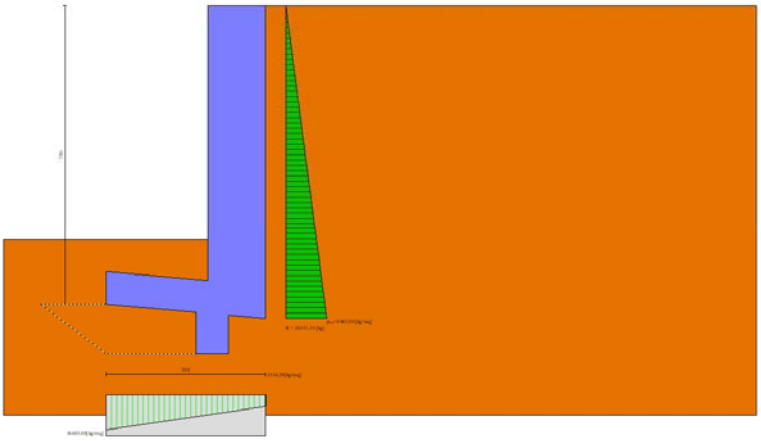


Fig. 4 - Diagramma delle pressioni (combinazione statica) (Combinazione n° 1)

Verifiche geotecniche

Quadro riassuntivo coeff. di sicurezza calcolati

Simbologia adottata

Cmb	Indice/Tipo combinazione
S	Sisma (H: componente orizzontale, V: componente verticale)
FS_{SCO}	Coeff. di sicurezza allo scorrimento
FS_{RIB}	Coeff. di sicurezza al ribaltamento
FS_{QLIM}	Coeff. di sicurezza a carico limite
FS_{STAB}	Coeff. di sicurezza a stabilità globale
FS_{HYD}	Coeff. di sicurezza a sifonamento
FS_{UPL}	Coeff. di sicurezza a sollevamento

Cmb	Sismica	FS_{SCO}	FS_{RIB}	FS_{QLIM}	FS_{STAB}	FS_{HYD}	FS_{UPL}
1 - STR (A1-M1-R3)		1.177		1.845			
2 - STR (A1-M1-R3)	H + V	1.129		1.589			
3 - STR (A1-M1-R3)	H - V	1.121		1.680			
4 - GEO (A2-M2-R2)					1.341		
5 - GEO (A2-M2-R2)	H + V				1.399		
6 - GEO (A2-M2-R2)	H - V				1.373		
7 - EQU (A1-M1-R3)			2.261				
8 - EQU (A1-M1-R3)	H + V		1.845				
9 - EQU (A1-M1-R3)	H - V		1.682				

Verifica a scorrimento fondazione

Simbologia adottata

n°	Indice combinazione
Rsa	Resistenza allo scorrimento per attrito, espresso in [kg]
Rpt	Resistenza passiva terreno antistante, espresso in [kg]
Rps	Resistenza passiva sperone, espresso in [kg]
Rp	Resistenza a carichi orizzontali pali (solo per fondazione mista), espresso in [kg]
Rt	Resistenza a carichi orizzontali tiranti (solo se presenti), espresso in [kg]
R	Resistenza allo scorrimento (somma di Rsa+Rpt+Rps+Rp), espresso in [kg]
T	Carico parallelo al piano di posa, espresso in [kg]
FS	Fattore di sicurezza (rapporto R/T)

n°	Rsa	Rpt	Rps	Rp	Rt	R	T	FS
	[kg]	*[kg]*	*[kg]*	*[kg]*	*[kg]*	*[kg]*	*[kg]*	
3 - STR (A1-M1-R3) H - V	3161	0	21886	--	--	25048	25826	1.121

Dettagli verifica a scorrimento

Simbologia adottata

n°	Indice combinazione
Ncss	Carico sul cuneo di spinta passiva, espresso in [kg]
ϕ_{Rp}	Angolo di rottura passivo, espresso in [°]
Nrpp	Carico residuo sul piano di posa, espresso in [kg]
Lr	Lunghezza base residua, espresso in [m]

n°	Ncss	ϕ_{Rp}	Nrpp	Lr
	[kg]		*[kg]*	*[m]*
3	30585	32.215	10309	1,71

Verifica a carico limite

Simbologia adottata

n°	Indice combinazione
N	Carico normale totale al piano di posa, espresso in [kg]
Qu	carico limite del terreno, espresso in [kg]
Qd	Portanza di progetto, espresso in [kg]
FS	Fattore di sicurezza (rapporto tra il carico limie e carico agente al piano di posa)

n°	N	Qu	Qd	FS
	[kg]	*[kg]*	*[kg]*	
2 - STR (A1-M1-R3) H + V	44815	71227	59355	1.589

Dettagli calcolo portanza

Simbologia adottata

n°	Indice combinazione
Nc, Nq, N_γ	Fattori di capacità portante
ic, iq, i_γ	Fattori di inclinazione del carico
dc, dq, d_γ	Fattori di profondità del piano di posa
gc, gq, g_γ	Fattori di inclinazione del profilo topografico
bc, bq, b_γ	Fattori di inclinazione del piano di posa
sc, sq, s_γ	Fattori di forma della fondazione
pc, pq, p_γ	Fattori di riduzione per punzonamento secondo Vesic
Re	Fattore di riduzione capacità portante per eccentricità secondo Meyerhof
Ir, Irc	Indici di rigidezza per punzonamento secondo Vesic
r_γ	Fattori per tener conto dell'effetto piastra. Per fondazioni che hanno larghezza maggiore di 2 m, il terzo termine della formula trinomia $0.5B\gamma N_\gamma$ viene moltiplicato per questo fattore
D	Affondamento del piano di posa, espresso in [m]

B' Larghezza fondazione ridotta, espresso in [m]
H Altezza del cuneo di rottura, espresso in [m]
γ Peso di volume del terreno medio, espresso in [kg/mc]
ϕ Angolo di attrito del terreno medio, espresso in [°]
c Coesione del terreno medio, espresso in [kg/cmq]
Per i coeff. che in tabella sono indicati con il simbolo '--' sono coeff. non presenti nel metodo scelto (Meyerhof).

n°	Nc Nq Nγ	ic iq iγ	dc dq dγ	gc gq gγ	bc bq bγ	sc sq sγ	pc pq pγ	Ir	Irc	Re	rγ
2	21.577 11.324 7.445	0.474 0.474 0.009	1.191 1.095 1.095	-- -- --	-- -- --	-- -- --	-- -- --	--	--	0.658	0.927

n°	D [m]	B' [m]	H [m]	γ [°]	ϕ [kg/mc]	c [kg/cmq]
2	2,35	3,91	3,11	1980	25.57	0,00

Verifica a ribaltamento

Simbologia adottata
n° Indice combinazione
Ms Momento stabilizzante, espresso in [kgm]
Mr Momento ribaltante, espresso in [kgm]
FS Fattore di sicurezza (rapporto tra momento stabilizzante e momento ribaltante)
La verifica viene eseguita rispetto allo spigolo inferiore esterno della fondazione

n°	Ms [kgm]	Mr [kgm]	FS
9 - EQU (A1-M1-R3) H - V	125685	74734	1.682

Verifica stabilità globale muro + terreno

Simbologia adottata
Ic Indice/Tipo combinazione
C Centro superficie di scorrimento, espresso in [m]
R Raggio, espresso in [m]
FS Fattore di sicurezza

Ic	C [m]	R [m]	FS
4 - GEO (A2-M2-R2)	-3,50; 0,50	9,37	1.341

Dettagli strisce verifiche stabilità

Simbologia adottata
Le ascisse X sono considerate positive verso monte
Le ordinate Y sono considerate positive verso l'alto
Origine in testa al muro (spigolo contro terra)
W peso della striscia espresso in [kg]
Qy carico sulla striscia espresso in [kg]
Qf carico acqua sulla striscia espresso in [kg]
α angolo fra la base della striscia e l'orizzontale espresso in [°] (positivo antiorario)
ϕ angolo d'attrito del terreno lungo la base della striscia
c coesione del terreno lungo la base della striscia espressa in [kg/cmq]
b larghezza della striscia espressa in [m]
u pressione neutra lungo la base della striscia espressa in [kg/cmq]
Tx; Ty Resistenza al taglio fornita dai tiranti in direzione X ed Y espressa in [kg/cmq]

Combinazione n° 4 - GEO (A2-M2-R2)

n°	W [kg]	Qy [kg]	Qf [kg]	b [m]	α [°]	ϕ [°]	c [kg/cmq]	u [kg/cmq]	Tx; Ty [kg]
1	1926	0	0	5,86 - 0,66	77.549	20.946	0,00	0,000	
2	4715	0	0	0,66	63.745	20.946	0,00	0,000	
3	6199	0	0	0,66	55.658	20.946	0,00	0,000	
4	7312	0	0	0,66	49.046	20.946	0,00	0,000	
5	8202	0	0	0,66	43.237	20.946	0,00	0,000	
6	8933	0	0	0,66	37.944	20.946	0,00	0,000	
7	9541	0	0	0,66	33.013	20.946	0,00	0,000	
8	10047	0	0	0,66	28.346	20.946	0,00	0,000	
9	10611	0	0	0,66	23.877	20.946	0,00	0,000	
10	13398	0	0	0,66	19.559	20.946	0,00	0,000	
11	13867	0	0	0,66	15.354	20.946	0,00	0,000	
12	4442	0	0	0,66	11.233	20.946	0,00	0,000	
13	4261	0	0	0,66	7.170	20.946	0,00	0,000	
14	4337	0	0	0,66	3.144	20.946	0,00	0,000	
15	4326	0	0	0,66	-0.867	20.946	0,00	0,000	
16	4039	0	0	0,66	-4.883	20.946	0,00	0,000	
17	3936	0	0	0,66	-8.922	20.946	0,00	0,000	
18	3771	0	0	0,66	-13.007	20.946	0,00	0,000	
19	3541	0	0	0,66	-17.161	20.946	0,00	0,000	
20	3243	0	0	0,66	-21.411	20.946	0,00	0,000	
21	2871	0	0	0,66	-25.789	20.946	0,00	0,000	
22	2417	0	0	0,66	-30.337	20.946	0,00	0,000	

n°	W	Qy	Qf	b	α	ϕ	c	u	Tx; Ty
	[kg]	*[kg]*	*[kg]*	*[m]*	*[°]*	*[°]*	*[kg/cmq]*	*[kg/cmq]*	*[kg]*
23	1869	0	0	0,66	-35.109	20.946	0,00	0,000	
24	1210	0	0	0,66	-40.182	20.946	0,00	0,000	
25	416	0	0	-10,52 - 0,66	-45.022	20.946	0,00	0,000	

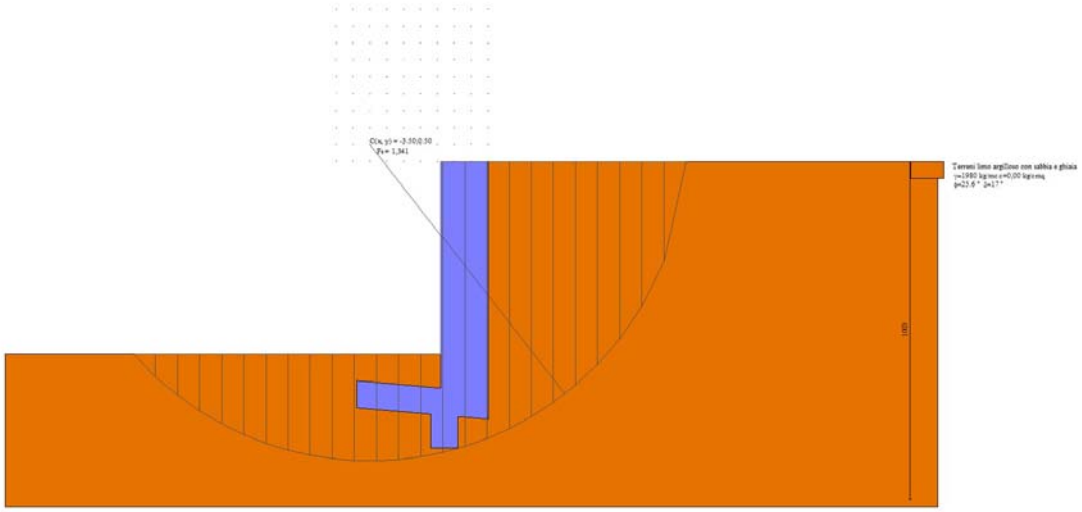


Fig. 5 - Stabilità fronte di scavo - Cerchio critico (Combinazione n° 4)

Verifiche strutturali

Verifiche a flessione

Elementi calcolati a trave

Simbologia adottata

n°	indice sezione
B	larghezza sezione espresso in [cm]
H	altezza sezione espressa in [cm]
Afi	area ferri inferiori espresso in [cmq]
Afs	area ferri superiori espressa in [cmq]
M	momento agente espressa in [kgm]
N	sforzo normale agente espressa in [kg]
Mrd	momento resistente espresso in [kgm]
Nrd	sforzo normale resistente espresso in [kg]
FS	fattore di sicurezza (rapporto tra sollecitazione ultima e sollecitazione agente)

Oggetto	Is	B	H	Afi	Afs	M	N	Mu	Nu	FS
		[cm]	*[cm]*	*[cmq]*	*[cmq]*	*[kgm]*	*[kg]*	*[kgm]*	*[kg]*	
Paramento	70	100	140	22,90	45,80	52554	25100	336027	160487	6.394
Fondazione	26	100	80	17,81	17,81	43834	0	52225	0	1.191
Sperone	1	100	80	12,72	0,00	18444	0	37538	0	2.035

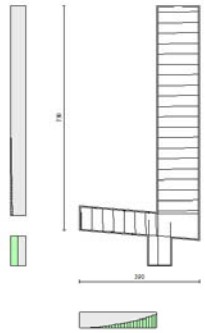


Fig. 6 - Paramento (Inviluppo)

Verifiche a taglio

Simbologia adottata

n° (o Is)	indice sezione
Y	ordinata sezione espressa in [m]
B	larghezza sezione espresso in [cm]
H	altezza sezione espressa in [cm]
A_{sw}	area ferri a taglio espresso in [cmq]
cotgθ	inclinazione delle bielle compresse, θ inclinazione dei puntoni di calcestruzzo
V_{Rcd}	resistenza di progetto a 'taglio compressione' espressa in [kg]
V_{Rsd}	resistenza di progetto a 'taglio trazione' espressa in [kg]
V_{Rd}	resistenza di progetto a taglio espresso in [kg]. Per elementi con armature trasversali resistenti al taglio (A_{sw}>0.0) V_{Rd}=min(V_{Rcd}, V_{Rsd}).
T	taglio agente espressa in [kg]
FS	fattore di sicurezza (rapporto tra sollecitazione resistente e sollecitazione agente)

Oggetto	Is	B	H	A_{sw}	cotθ	V_{Rcd}	V_{Rsd}	V_{Rd}	T	FS
		[cm]	*[cm]*	*[cmq]*		*[kg]*	*[kg]*	*[kg]*	*[kg]*	
Paramento	70	100	140	0,00		0	0	65660	21890	3.000
Fondazione	26	100	80	0,00		0	0	37039	-30139	1.229
Sperone	1	100	80	0,00		0	0	31479	27653	1.138

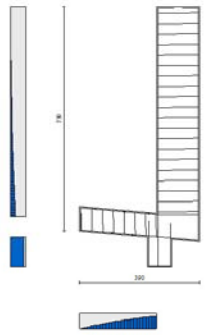


Fig. 7 - Paramento (Inviluppo)

Verifica delle tensioni

Simbologia adottata

n°	indice sezione
Y	ordinata sezione, espressa in [m]
B	larghezza sezione, espresso in [cm]
H	altezza sezione, espressa in [cm]
Afi	area ferri inferiori, espresso in [cmq]
Afs	area ferri superiori, espressa in [cmq]
M	momento agente, espressa in [kgm]
N	sforzo normale agente, espressa in [kg]
σc	tensione di compressione nel cls, espressa in [kg/cmq]
σfi	tensione nei ferri inferiori, espressa in [kg/cmq]
σfs	tensione nei ferri superiori, espressa in [kg/cmq]

Combinazioni SLER

Oggetto	Is	B	H	Afi	Afs	σ_c	$\sigma_{c,lim}$	σ_{fi}	σ_{fs}	$\sigma_{f,lim}$
		[cm]	*[cm]*	*[cmq]*	*[cmq]*	*[kg/cmq]*	*[kg/cmq]*	*[kg/cmq]*	*[kg/cmq]*	*[kg/cmq]*
Paramento	70	100	140	22,90	45,80	15,31	228,51	405,54	211,50	3670,92
Fondazione	26	100	80	17,81	17,81	40,70	228,51	2291,13	461,82	3670,92
Sperone	1	100	80	12,72	0,00	24,05	228,51	1440,25	0,00	3670,92

Combinazioni SLEF

Oggetto	Is	B	H	Afi	Afs	σ_c	$\sigma_{c,lim}$	σ_{fi}	σ_{fs}	$\sigma_{f,lim}$
		[cm]	*[cm]*	*[cmq]*	*[cmq]*	*[kg/cmq]*	*[kg/cmq]*	*[kg/cmq]*	*[kg/cmq]*	*[kg/cmq]*
Paramento	70	100	140	22,90	45,80	15,31	380,85	405,54	211,50	4588,65
Fondazione	26	100	80	17,81	17,81	40,70	380,85	2291,13	461,82	4588,65
Sperone	1	100	80	12,72	0,00	24,05	380,85	1440,25	0,00	4588,65

Combinazioni SLEQ

Oggetto	Is	B	H	Afi	Afs	σ_c	$\sigma_{c,lim}$	σ_{fi}	σ_{fs}	$\sigma_{f,lim}$
		[cm]	*[cm]*	*[cmq]*	*[cmq]*	*[kg/cmq]*	*[kg/cmq]*	*[kg/cmq]*	*[kg/cmq]*	*[kg/cmq]*
Paramento	70	100	140	22,90	45,80	18,79	171,38	545,10	258,22	4588,65
Fondazione	26	100	80	17,81	17,81	51,21	171,38	2882,77	581,07	4588,65
Sperone	1	100	80	12,72	0,00	29,09	171,38	1742,38	0,00	4588,65
Sperone	1	100	80	12,72	0,00	24,05	171,38	1440,25	0,00	4588,65

Verifica a fessurazione

Simbologia adottata

n°	indice sezione
Y	ordinata sezione espressa in [m]
B	larghezza sezione espresso in [cm]
H	altezza sezione espressa in [cm]
Af	area ferri zona tesa espresso in [cmq]
Aeff	area efficace espressa in [cmq]
M	momento agente espressa in [kgm]
Mpf	momento di formazione/apertura fessure espressa in [kgm]
ε	deformazione espresso in %
Sm	spaziatura tra le fessure espressa in [mm]
w	apertura delle fessure espressa in [mm]

Combinazioni SLEF

Oggetto	Is	B	H	Af	Aeff	M	Mpf	ε	Sm	w	w_{lim}
		[cm]	*[cm]*	*[cmq]*	*[cmq]*	*[kgm]*	*[kgm]*	*[%]*	*[mm]*	*[mm]*	*[mm]*
Paramento	70	100	140	45,80	975,00	35675	169699	0.000000	0	0,000	0,400
Fondazione	26	100	80	17,81	975,00	28998	50892	0.000000	0	0,000	0,400
Sperone	1	100	80	12,72	975,00	13014	47235	0.000000	0	0,000	0,400

Combinazioni SLEQ

Oggetto	Is	B	H	Af	Aeff	M	Mpf	ε	Sm	w	w_{lim}
		[cm]	*[cm]*	*[cmq]*	*[cmq]*	*[kgm]*	*[kgm]*	*[%]*	*[mm]*	*[mm]*	*[mm]*
Paramento	70	100	140	45,80	975,00	44189	169853	0.000000	0	0,000	0,300
Fondazione	26	100	80	17,81	975,00	36486	50892	0.000000	0	0,000	0,300
Sperone	1	100	80	12,72	975,00	15744	47235	0.000000	0	0,000	0,300

Dichiarazioni secondo N.T.C. 2018 (punto 10.2)

Analisi e verifiche svolte con l'ausilio di codici di calcolo
Il sottoscritto Ing. Giuseppe Cervarolo, in qualità di calcolatore delle opere in progetto, dichiara quanto segue.

Tipo di analisi svolta
L'analisi strutturale e le verifiche sono condotte con l'ausilio di un codice di calcolo automatico. La verifica della sicurezza degli elementi strutturali è stata valutata con i metodi della scienza delle costruzioni.
Il calcolo dei muri di sostegno viene eseguito secondo le seguenti fasi:
- Calcolo della spinta del terreno
- Verifica a ribaltamento
- Verifica a scorrimento del muro sul piano di posa
- Verifica della stabilità complesso fondazione terreno (carico limite)
- Verifica della stabilità globale
- Calcolo delle sollecitazioni sia del muro che della fondazione, progetto delle armature e relative verifiche dei materiali.

L'analisi strutturale sotto le azioni sismiche è condotta con il metodo dell'analisi statica equivalente secondo le disposizioni del capitolo 7 del D.M. 17/01/2018.
La verifica delle sezioni degli elementi strutturali è eseguita con il metodo degli Stati Limite. Le combinazioni di carico adottate sono esaustive relativamente agli scenari di carico più gravosi cui l'opera sarà soggetta.

Origine e caratteristiche dei codici di calcolo

Titolo	MAX - Analisi e Calcolo Muri di Sostegno
Versione	16.0
Produttore	Aztec Informatica srl, Casali del Manco - loc. Casole Bruzio (CS)
Utente	ING. CERVAROLO GIUSEPPE
Licenza	AILS0044A3

Affidabilità dei codici di calcolo
Un attento esame preliminare della documentazione a corredo del software ha consentito di valutarne l'affidabilità. La documentazione fornita dal produttore del software contiene un'esauriente descrizione delle basi teoriche, degli algoritmi impiegati e l'individuazione dei campi d'impiego. La società produttrice Aztec Informatica srl ha verificato l'affidabilità e la robustezza del codice di calcolo attraverso un numero significativo di casi prova in cui i risultati dell'analisi numerica sono stati confrontati con soluzioni teoriche.

Modalità di presentazione dei risultati
La relazione di calcolo strutturale presenta i dati di calcolo tale da garantirne la leggibilità, la corretta interpretazione e la riproducibilità. La relazione di calcolo illustra in modo esaustivo i dati in ingresso ed i risultati delle analisi in forma tabellare.

Informazioni generali sull'elaborazione
Il software prevede una serie di controlli automatici che consentono l'individuazione di errori di modellazione, di non rispetto di limitazioni geometriche e di armatura e di presenza di elementi non verificati. Il codice di calcolo consente di visualizzare e controllare, sia in forma grafica che tabellare, i dati del modello strutturale, in modo da avere una visione consapevole del comportamento corretto del modello strutturale.

Giudizio motivato di accettabilità dei risultati
I risultati delle elaborazioni sono stati sottoposti a controlli dal sottoscritto utente del software. Tale valutazione ha compreso il confronto con i risultati di semplici calcoli, eseguiti con metodi tradizionali. Inoltre sulla base di considerazioni riguardanti gli stati tensionali e deformativi determinati, si è valutata la validità delle scelte operate in sede di schematizzazione e di modellazione della struttura e delle azioni.
In base a quanto sopra, io sottoscritto asserisco che l'elaborazione è corretta ed idonea al caso specifico, pertanto i risultati di calcolo sono da ritenersi validi ed accettabili.

Luogo e data

_____

Il progettista
(Ing. Giuseppe Cervarolo)

_____

Indice

Relazione di calcolo	1
Normative di riferimento	2
Richiami teorici	3
Calcolo della spinta sul muro	3
Valori caratteristici e valori di calcolo	3
Metodo di Culmann	3
Spinta in presenza di falda	3
Spinta in presenza di sisma	3
Verifica a ribaltamento	4
Verifica a scorrimento	4
Verifica al carico limite	5
Verifica alla stabilità globale	6
Dati	7
Materiali	7
Calcestruzzo armato	7
Acciai	7
Geometria profilo terreno a monte del muro	7
Geometria muro	7
Geometria paramento e fondazione	7
Descrizione terreni	8
Stratigrafia	8
Condizioni di carico	9
Normativa	9
Descrizione combinazioni di carico	10
Dati sismici	11
Opzioni di calcolo	13
Risultati	14
Spinta e forze	14
Verifiche geotecniche	14
Quadro riassuntivo coeff. di sicurezza calcolati	15
Verifica a scorrimento fondazione	15
Dettagli verifica a scorrimento	15
Verifica a carico limite	15
Dettagli calcolo portanza	15
Verifica a ribaltamento	16
Verifica stabilità globale muro + terreno	16
Dettagli strisce verifiche stabilità	16
Verifiche strutturali	17
Verifiche a flessione	17
Verifiche a taglio	18
Verifica delle tensioni	18
Combinazioni SLER	19
Combinazioni SLEF	19
Combinazioni SLEQ	19
Verifica a fessurazione	19
Combinazioni SLEF	19
Combinazioni SLEQ	19
Dichiarazioni secondo N.T.C. 2018 (punto 10.2)	20